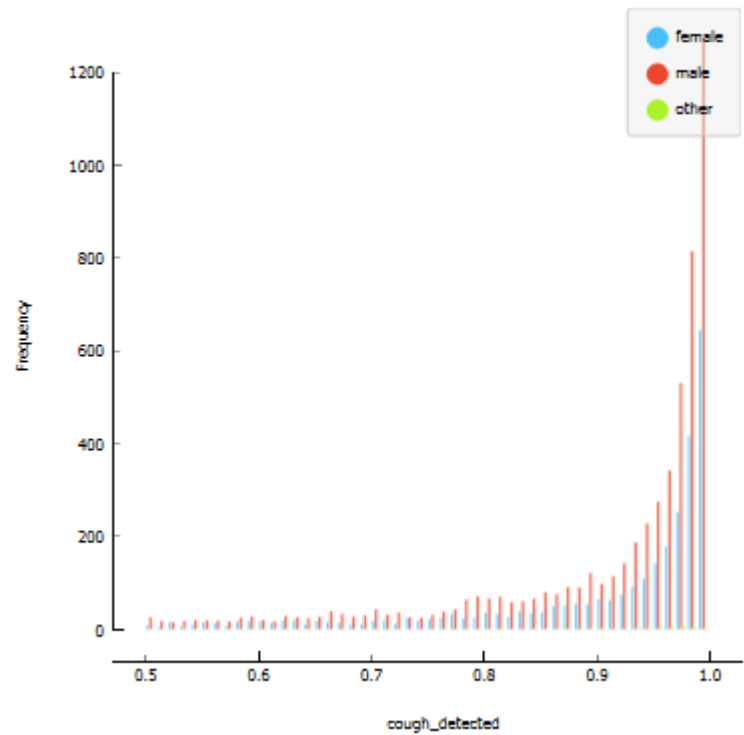


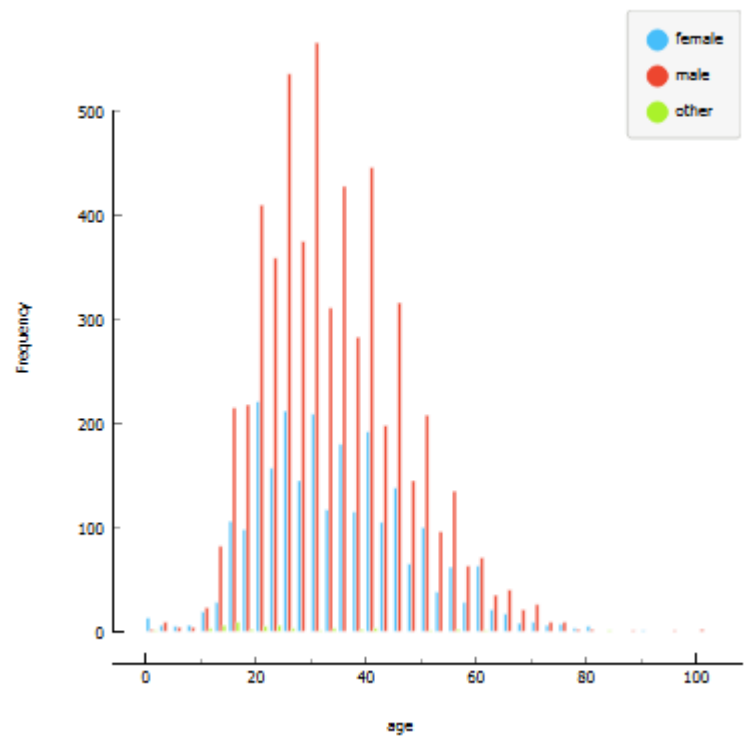
Distribution of 'cough_detected' with columns split by 'status'

Selecionamos as amostras de áudio com chance de detecção de tosse que 50% (`cough_detected > 0,5`). O gráfico acima mostra a distribuição das amostras divididas de acordo com o "status" referente à classificação do estado de saúde indicado pelo indivíduo (com COVID-19; `healthv = saudável`; `svmptomatic = com sintomas para alguma condição clínica`).



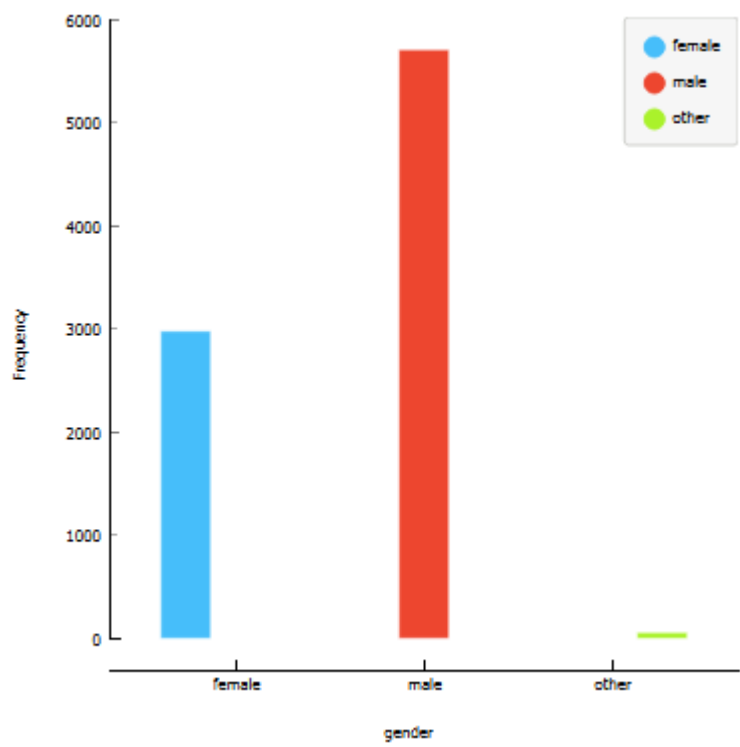
Distribution of 'cough_detected' with columns split by 'gender'

O gráfico acima mostra a distribuição das amostras de áudio com chance de detecção de tosse maior que 50%, divididas de acordo com o gênero dos indivíduos. É possível observar uma maior proporção de indivíduos do gênero masculino do que feminino.



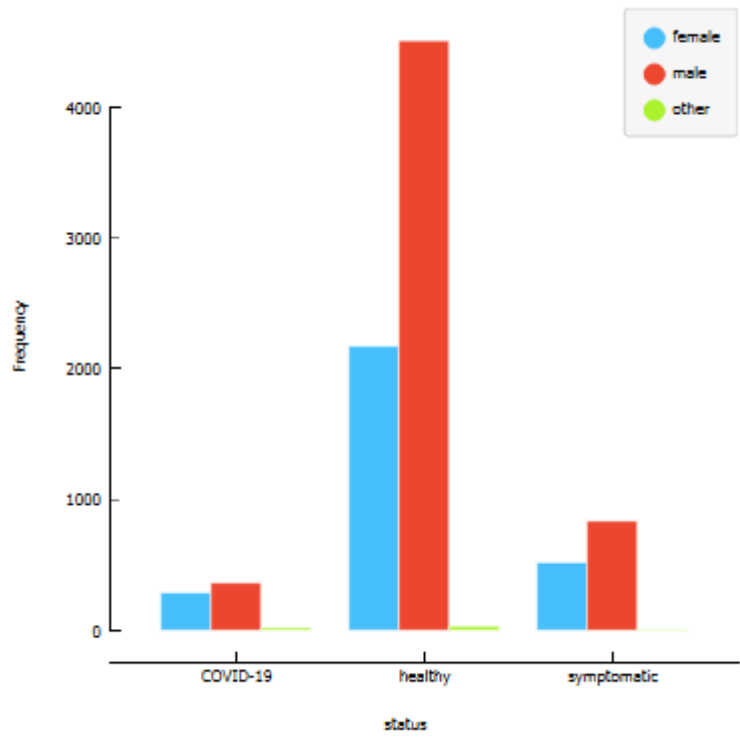
Distribution of 'age' with columns split by 'gender'

O gráfico acima mostra a distribuição de idade dos indivíduos avaliados, separados de acordo o gênero. Há maior proporção de amostras na faixa dos 20 aos 50 anos.



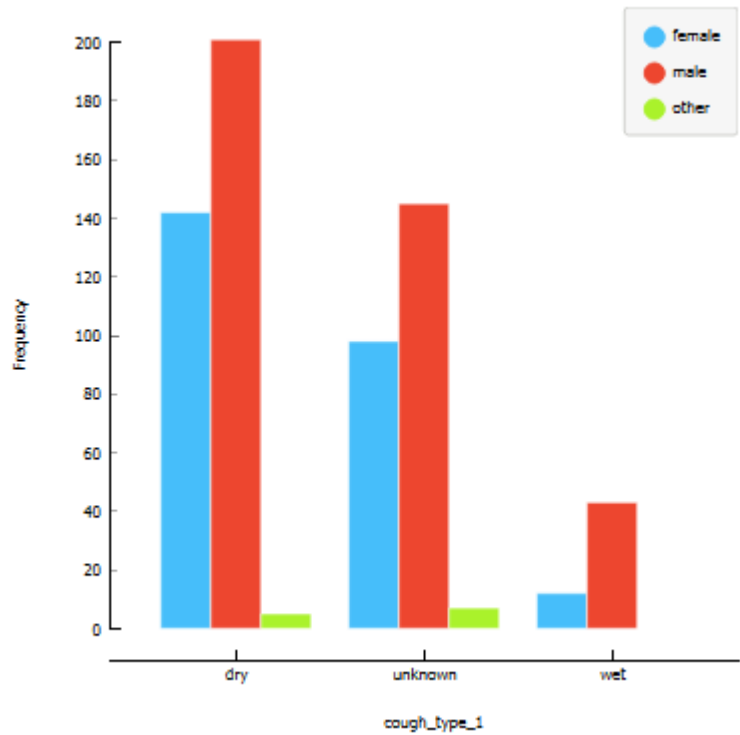
Distribution of 'gender' with columns split by 'gender'

Distribuição dos indivíduos avaliados de acordo com o gênero - masculino ou feminino. Há maior proporção de indivíduos do gênero masculino do que feminino. Alguns indivíduos optaram por não definir o gênero (other = outro).



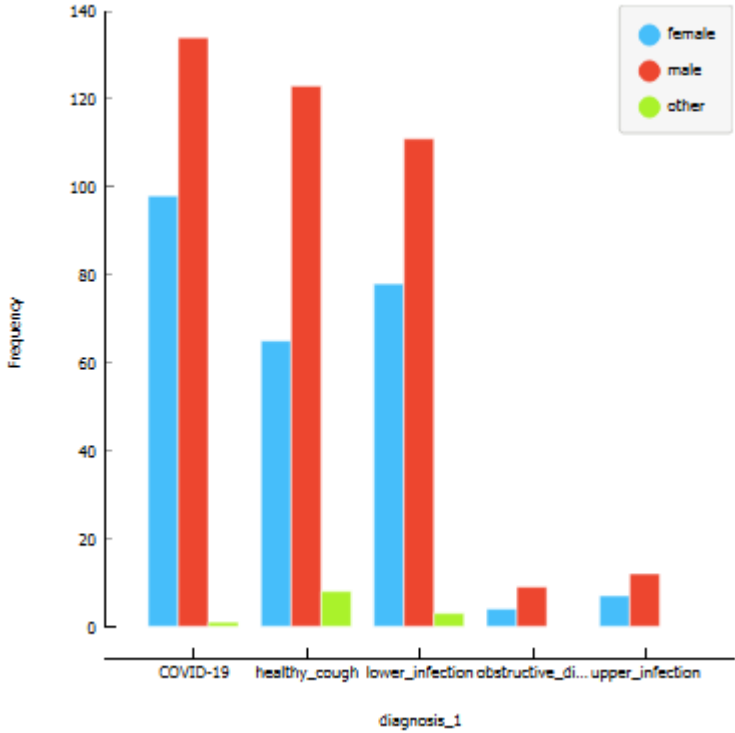
Distribution of 'status' with columns split by 'gender'

O gráfico mostra a classificação do próprio indivíduo sobre o "status" referente ao seu estado de saúde (com COVID-19; healthy = saudável; symptomatic = com sintomas para alguma condição clínica), e as amostras estão divididas de acordo com o gênero identificado.



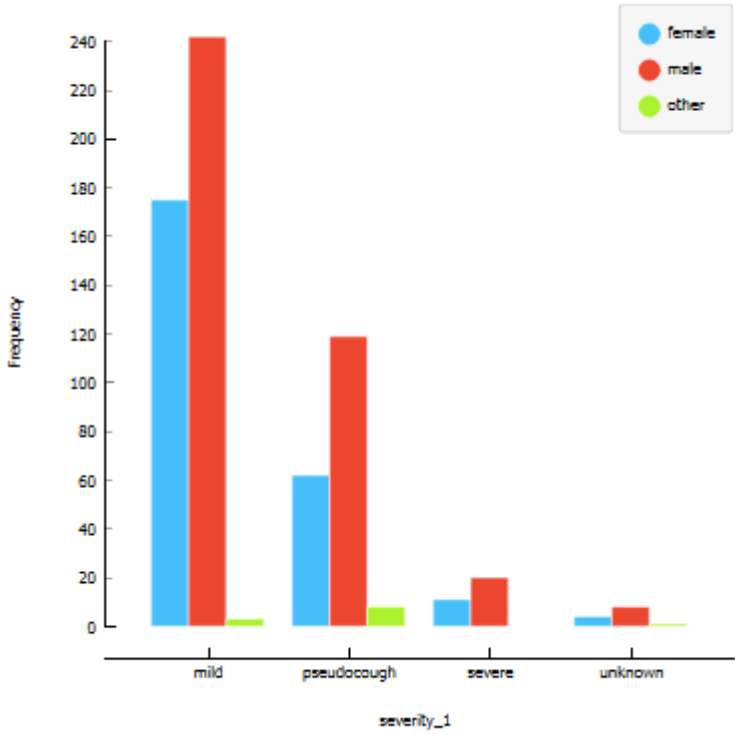
Distribution of 'cough_type_1' with columns split by 'gender'

De acordo com a opinião do especialista 1, o gráfico mostra como as amostras de áudio de tosse foram caracterizadas conforme os três tipos de tosse: dry = seca; unknown = não definida; wet = úmida), e estão separadas por gênero.



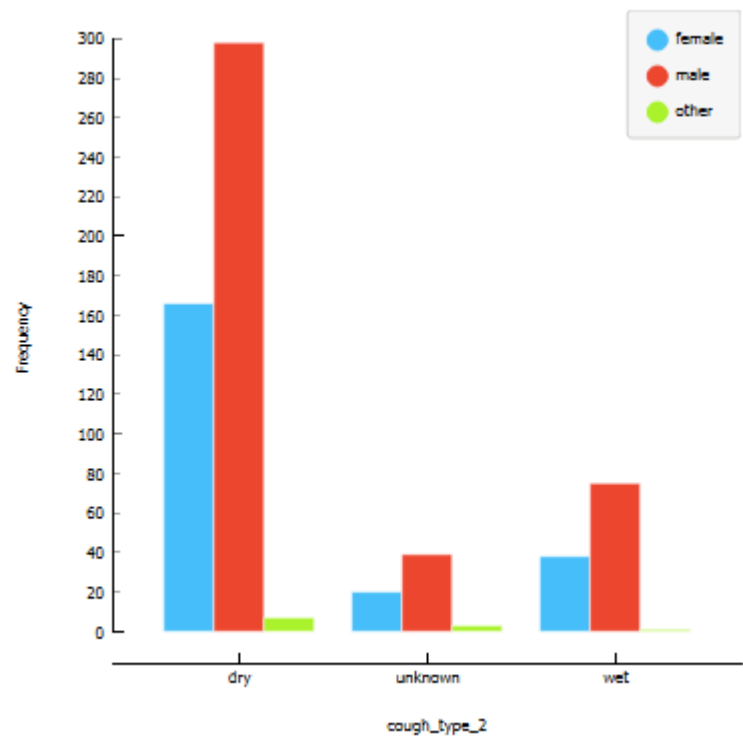
Distribution of 'diagnosis_1' with columns split by 'gender'

O gráfico mostra o diagnóstico feito pelo especialista 1 após análise do áudio de tosse de cada indivíduo. A distribuição foi dividida por gênero.



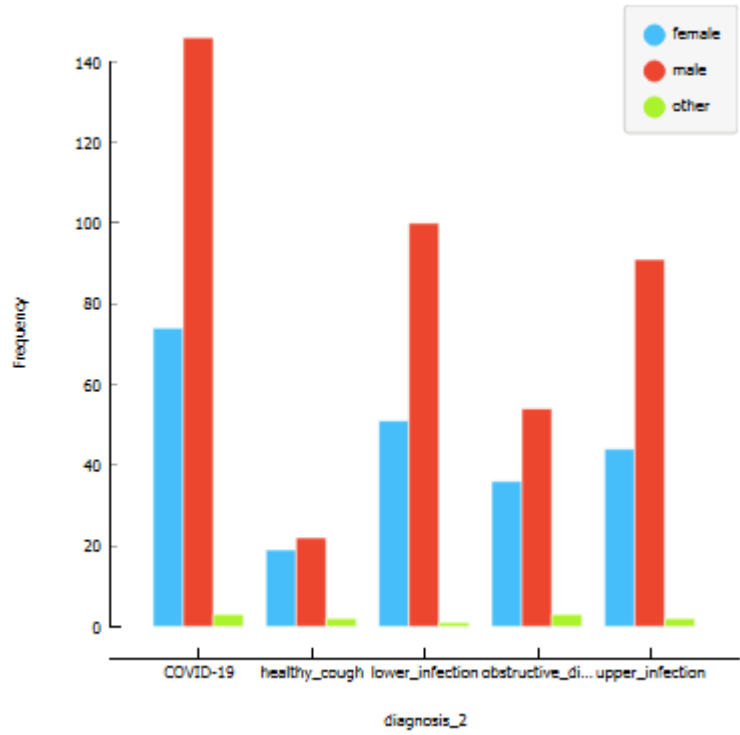
Distribution of 'severity_1' with columns split by 'gender'

O gráfico mostra a avaliação do especialista 1 em relação à severidade da condição clínica após análise do áudio de tosse de cada indivíduo. A distribuição foi dividida por gênero.



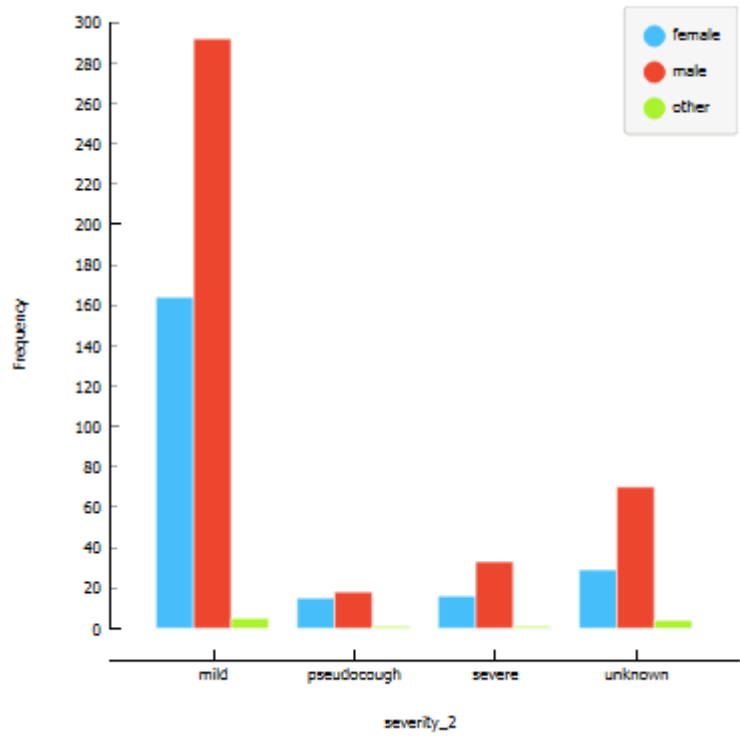
Distribution of 'cough_type_2' with columns split by 'gender'

De acordo com a opinião do especialista 2, o gráfico mostra como as amostras de áudio de tosse foram caracterizadas conforme os três tipos de tosse: dry = seca; unknown = não definida; wet = úmida), e estão separadas por gênero.



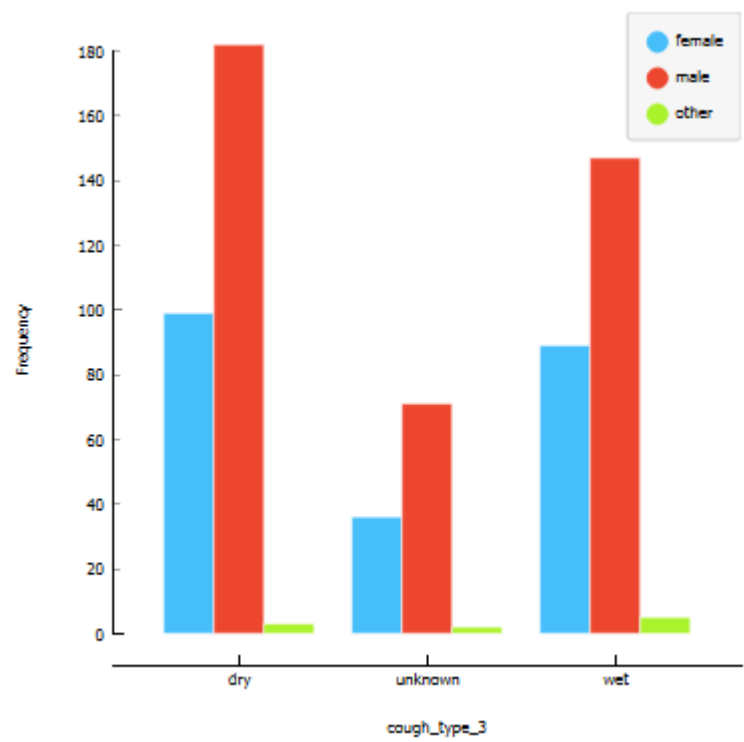
Distribution of 'diagnosis_2' with columns split by 'gender'

O gráfico mostra o diagnóstico feito pelo especialista 2 após análise do áudio de tosse de cada indivíduo. A distribuição foi dividida por gênero.



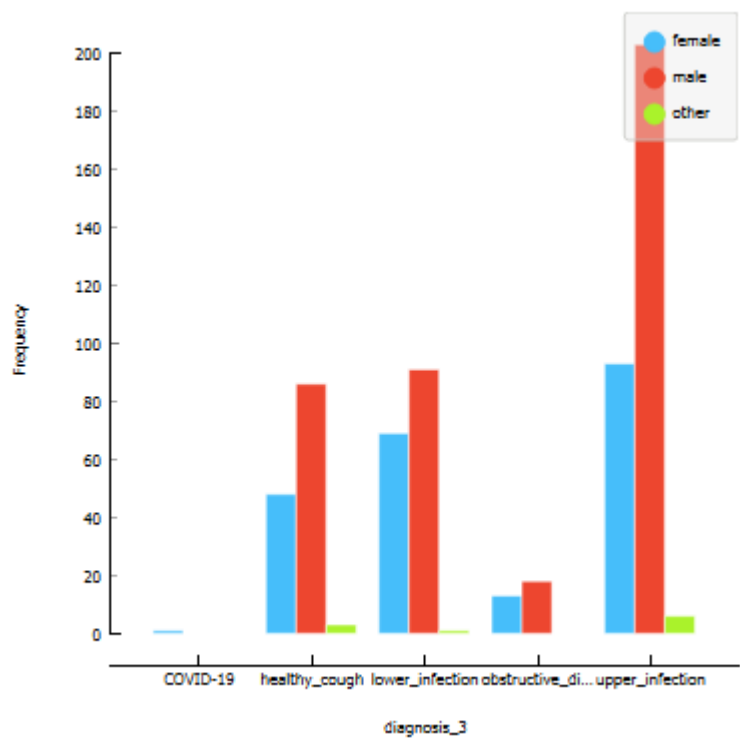
Distribution of 'severity_2' with columns split by 'gender'

O gráfico mostra a avaliação do especialista 2 em relação à severidade da condição clínica após análise do áudio de tosse de cada indivíduo. A distribuição foi dividida por gênero.



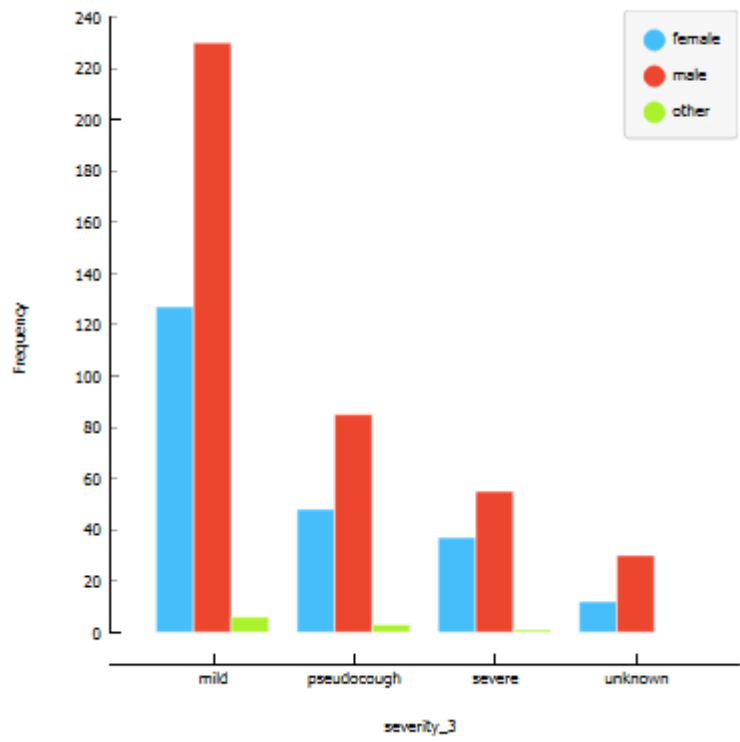
Distribution of 'cough_type_3' with columns split by 'gender'

De acordo com a opinião do especialista 3, o gráfico mostra como as amostras de áudio de tosse foram caracterizadas conforme os três tipos de tosse: dry = seca; unknown = não definida; wet = úmida), e estão separadas por gênero.



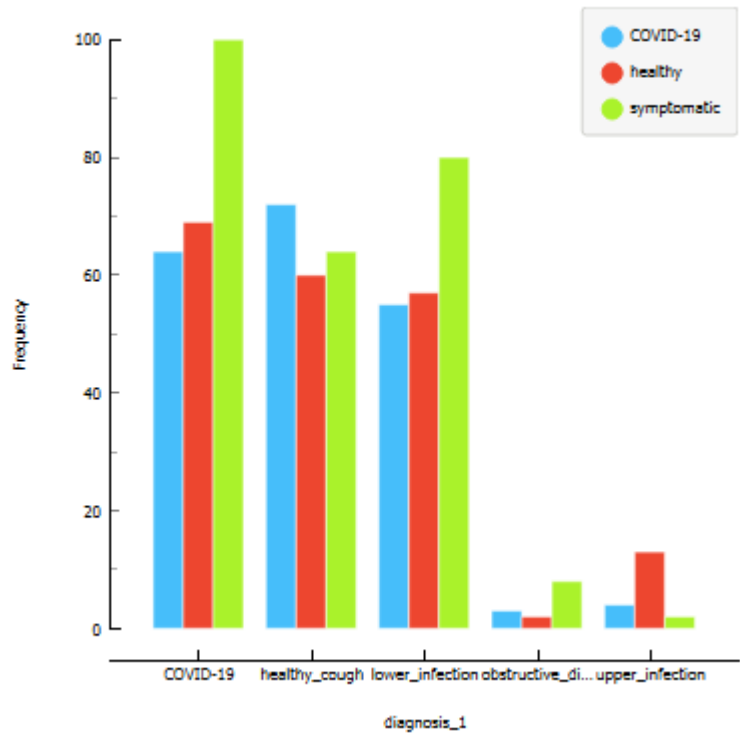
Distribution of 'diagnosis_3' with columns split by 'gender'

O gráfico mostra o diagnóstico feito pelo especialista 3 após análise do áudio de tosse de cada indivíduo. A distribuição foi dividida por gênero.



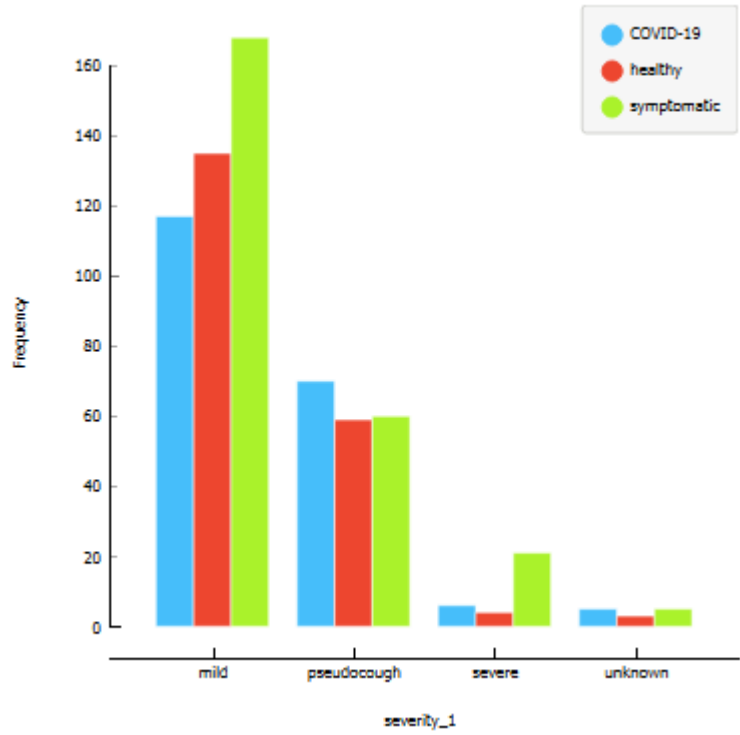
Distribution of 'severity_3' with columns split by 'gender'

O gráfico mostra a avaliação do especialista 3 em relação à severidade da condição clínica após análise do áudio de tosse de cada indivíduo. A distribuição foi dividida por gênero.



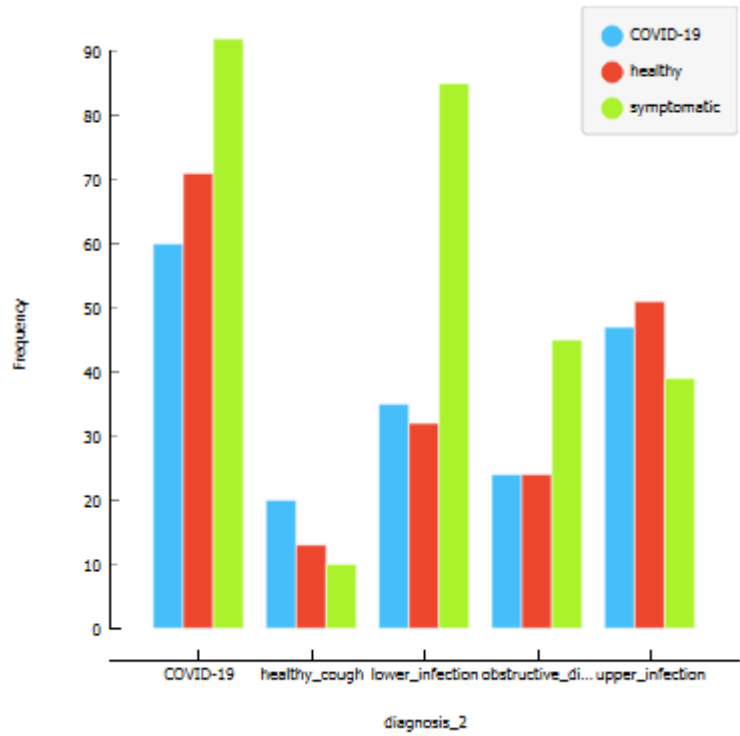
Distribution of 'diagnosis_1' with columns split by 'status'

O gráfico mostra a distribuição das amostras em relação ao diagnóstico dado pelo especialista 1, separado conforme a classificação do estado de saúde definido pelo indivíduo ("status"). É possível observar que muitas amostras diagnosticadas como saudáveis (healthy cough) foram definidas no "status" como COVID-19 ou sintomática -



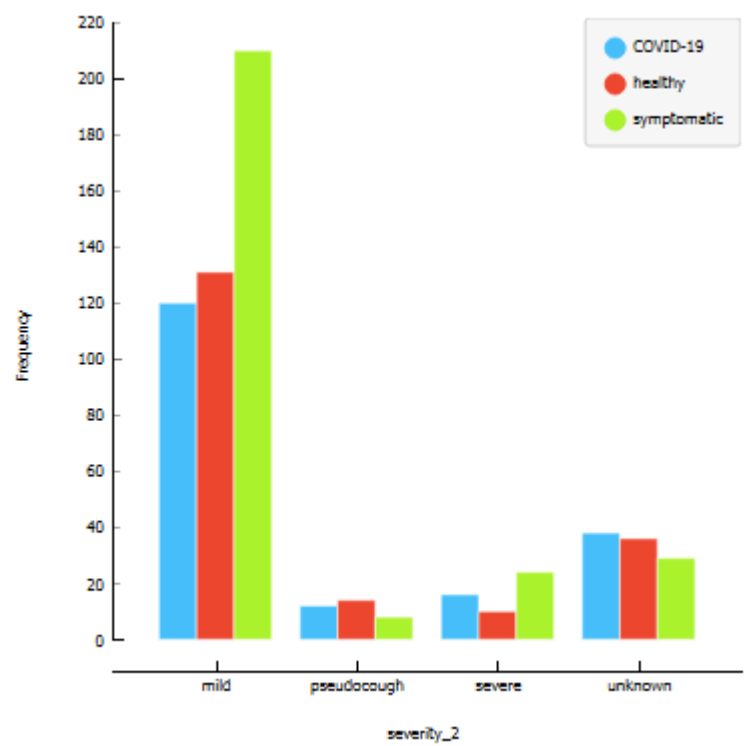
Distribution of 'severity_1' with columns split by 'status'

O gráfico mostra a distribuição das amostras em relação à severidade da condição clínica, avaliada pelo especialista 1, separado conforme a classificação do estado de saúde definido pelo indivíduo ("status"). É possível observar que a maior parte das avaliações foram leves (mild).



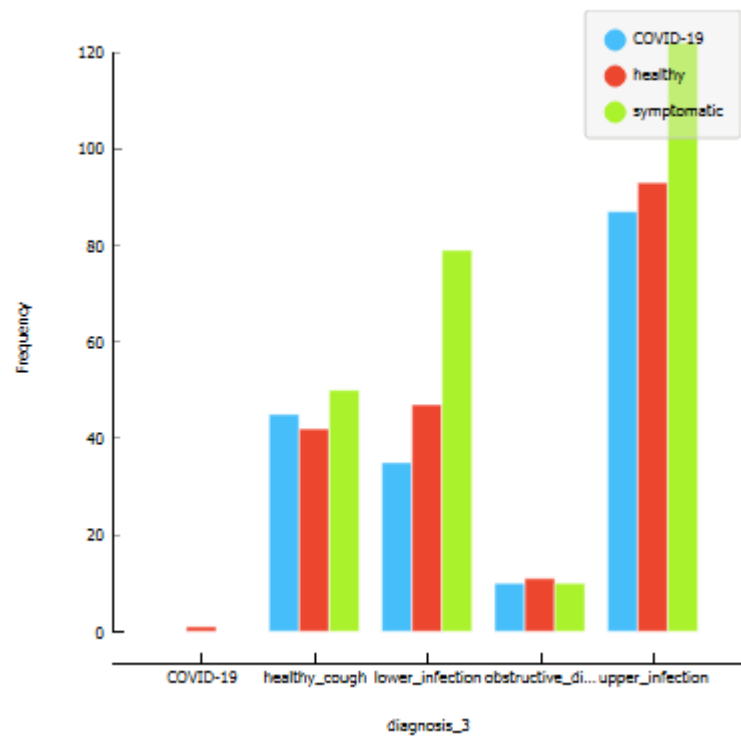
Distribution of 'diagnosis_2' with columns split by 'status'

O gráfico mostra a distribuição das amostras em relação ao diagnóstico dado pelo especialista 2, separado conforme a classificação do estado de saúde definido pelo indivíduo ("status"). É possível observar que menos amostras foram diagnosticadas como saudáveis (healthy cough) e definidas no "status" como COVID-19 ou sintomática - cores



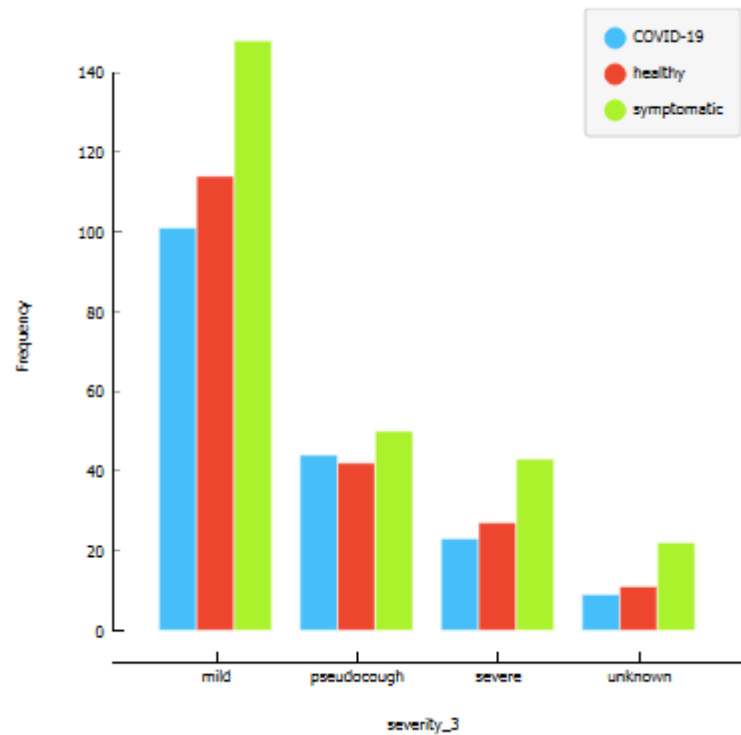
Distribution of 'severity_2' with columns split by 'status'

O gráfico mostra a distribuição das amostras em relação à severidade da condição clínica, avaliada pelo especialista 2, separado conforme a classificação do estado de saúde definido pelo indivíduo ("status"). É possível observar que a maior parte das avaliações foram leves (mild).



Distribution of 'diagnosis_3' with columns split by 'status'

O gráfico mostra a distribuição das amostras em relação ao diagnóstico dado pelo especialista 3, separado conforme a classificação do estado de saúde definido pelo indivíduo ("status"). É possível observar que não há amostras classificadas como COVID-19 por esse especialista, e há muitas amostras diagnosticadas como saudáveis (healthy cough)



Distribution of 'severity_3' with columns split by 'status'

O gráfico mostra a distribuição das amostras em relação à severidade da condição clínica, avaliada pelo especialista 3, separado conforme a classificação do estado de saúde definido pelo indivíduo ("status"). É possível observar que a maior parte das avaliações foram leves (mild).

Data instances: 11
Features: 4
Meta attributes: 1

	name	mild	pseudocough	severe	unknown
1	intercept	1.14192	-1.05009	1.30643	-1.39825
2	dyspnea_1=False	0.772465	0.121332	-1.03255	0.138757
3	dyspnea_1=True	-0.770244	-0.119178	1.03086	-0.141437
4	wheezing_1=False	0.0519579	0.812521	-0.235802	-0.628678
5	wheezing_1=True	-0.0497369	-0.810367	0.234107	0.625997
6	choking_1=False	0.358198	0.0852484	-0.471827	0.0283798
7	choking_1=True	-0.355977	-0.0830945	0.470132	-0.0310602
8	congestion_1=False	-0.151661	0.207068	-0.140472	0.0850653
9	congestion_1=True	0.153882	-0.204914	0.138778	-0.0877457
10	nothing_1=False	0.416963	-0.918126	0.569497	-0.0683346
11	nothing_1=True	-0.414742	0.92028	-0.571192	0.0656542

Uma regressao logistica foi realizada para avaliar a influencias das caracteristicas da tosse na severidade da condição clínica, de acordo com a análise do especialista 1. Para uma condição clínica severa, o fato do individuo apresentar dispneia (dificuldade para respirar) foi o que mais interferiu na avaliação.

Data instances: 13
Features: 4
Meta attributes: 1

	name	mild	pseudocough	severe	unknown
1	intercept	2.62712	-1.69981	1.81526	-2.74257
2	dyspnea_2=False	-0.229577	0.592208	-0.961108	0.598478
3	dyspnea_2=True	0.230009	-0.593753	0.961121	-0.597378
4	wheezing_2=False	-0.674636	0.40894	-0.567194	0.832891
5	wheezing_2=True	0.675068	-0.410485	0.567207	-0.831791
6	stridor_2=False	-0.190812	0.364278	-0.5644	0.390934
7	stridor_2=True	0.191244	-0.365823	0.564413	-0.389834
8	choking_2=False	0.277457	0.269174	-1.21084	0.664205
9	choking_2=True	-0.277025	-0.270719	1.21085	-0.663105
10	congestion_2=False	-0.0919301	-0.831561	0.17644	0.747052
11	congestion_2=True	0.0923621	0.830016	-0.176427	-0.745951
12	nothing_2=False	-0.0444974	-0.363245	0.4447	-0.0369576
13	nothing_2=True	0.0449294	0.3617	-0.444687	0.0380577

Uma regressao logistica foi realizada para avaliar a influencias das caracteristicas da tosse na severidade da condição clínica, de acordo com a análise do especialista 2. Para uma condição clínica severa, o fato do individuo apresentar "choking" (sensação de asfixia) foi oque mais interferiu na avaliação.

Data instances: 11
Features: 4
Meta attributes: 1

	name	mild	pseudocough	severe	unknown
1	intercept	0.903641	-0.789241	0.537781	-0.652181
2	dyspnea_3=False	0.421625	0.310946	-0.300545	-0.432027
3	dyspnea_3=True	-0.423374	-0.309992	0.303463	0.429902
4	wheezing_3=False	0.433847	0.263012	-0.788552	0.0916932
5	wheezing_3=True	-0.435595	-0.262058	0.791471	-0.093818
6	stridor_3=False	-0.440951	0.175776	0.146412	0.118763
7	stridor_3=True	0.439202	-0.174821	-0.143494	-0.120888
8	congestion_3=False	-0.6855	0.277676	0.227361	0.180464
9	congestion_3=True	0.683752	-0.276721	-0.224443	-0.182588
10	nothing_3=False	-0.496562	-0.0375854	0.125535	0.408613
11	nothing_3=True	0.494814	0.0385402	-0.122617	-0.410737

Uma regressao logistica foi realizada para avaliar a influencias das caracteristicas da tosse na severidade da condiao clnica, de acordo com a anlise do especialista 3. Para uma condiao clnica severa, o fato do individuo apresentar "wheezing" (respiraao ofegante) foi o que mais interferiu na avaliaao.